

Starkniederschlagshöhen und -spenden gemäß KOSTRA-DWD-2020

Rasterfeld 163119

(Zeile 163, Spalte 119)

Regenspende und Bemessungsniederschlagswerte in Abhängigkeit von Wiederkehrzeit T und Dauerstufe D

| Dauerstufe D | | Wiederkehrzeit T | | | | | | | | | | | | | | | | | |
|--------------|-----|------------------|------------|------|------------|------|------------|------|------------|------|------------|------|------------|------|------------|------|------------|-------|------------|
| | | 1 a | | 2 a | | 3 a | | 5 a | | 10 a | | 20 a | | 30 a | | 50 a | | 100 a | |
| min | Std | mm | l / (s ha) | mm | l / (s ha) | mm | l / (s ha) | mm | l / (s ha) | mm | l / (s ha) | mm | l / (s ha) | mm | l / (s ha) | mm | l / (s ha) | mm | l / (s ha) |
| 5 | | 8,0 | 266,7 | 9,8 | 326,7 | 11,0 | 366,7 | 12,4 | 413,3 | 14,6 | 486,7 | 16,8 | 560,0 | 18,3 | 610,0 | 20,2 | 673,3 | 22,9 | 763,3 |
| 10 | | 10,1 | 168,3 | 12,4 | 206,7 | 13,8 | 230,0 | 15,7 | 261,7 | 18,4 | 306,7 | 21,2 | 353,3 | 23,0 | 383,3 | 25,4 | 423,3 | 28,9 | 481,7 |
| 15 | | 11,3 | 125,6 | 13,9 | 154,4 | 15,5 | 172,2 | 17,6 | 195,6 | 20,6 | 228,9 | 23,7 | 263,3 | 25,8 | 286,7 | 28,5 | 316,7 | 32,3 | 358,9 |
| 20 | | 12,1 | 100,8 | 14,9 | 124,2 | 16,6 | 138,3 | 18,9 | 157,5 | 22,1 | 184,2 | 25,5 | 212,5 | 27,7 | 230,8 | 30,6 | 255,0 | 34,7 | 289,2 |
| 30 | | 13,3 | 73,9 | 16,4 | 91,1 | 18,2 | 101,1 | 20,7 | 115,0 | 24,3 | 135,0 | 28,0 | 155,6 | 30,4 | 168,9 | 33,6 | 186,7 | 38,1 | 211,7 |
| 45 | | 14,5 | 53,7 | 17,8 | 65,9 | 19,9 | 73,7 | 22,6 | 83,7 | 26,5 | 98,1 | 30,6 | 113,3 | 33,2 | 123,0 | 36,7 | 135,9 | 41,6 | 154,1 |
| 60 | 1 | 15,4 | 42,8 | 18,9 | 52,5 | 21,1 | 58,6 | 24,0 | 66,7 | 28,1 | 78,1 | 32,4 | 90,0 | 35,2 | 97,8 | 38,9 | 108,1 | 44,1 | 122,5 |
| 90 | 1,5 | 16,7 | 30,9 | 20,5 | 38,0 | 22,9 | 42,4 | 26,0 | 48,1 | 30,5 | 56,5 | 35,1 | 65,0 | 38,2 | 70,7 | 42,1 | 78,0 | 47,8 | 88,5 |
| 120 | 2 | 17,6 | 24,4 | 21,7 | 30,1 | 24,2 | 33,6 | 27,5 | 38,2 | 32,2 | 44,7 | 37,1 | 51,5 | 40,3 | 56,0 | 44,5 | 61,8 | 50,6 | 70,3 |
| 180 | 3 | 19,0 | 17,6 | 23,4 | 21,7 | 26,1 | 24,2 | 29,7 | 27,5 | 34,8 | 32,2 | 40,1 | 37,1 | 43,5 | 40,3 | 48,1 | 44,5 | 54,6 | 50,6 |
| 240 | 4 | 20,1 | 14,0 | 24,7 | 17,2 | 27,5 | 19,1 | 31,3 | 21,7 | 36,7 | 25,5 | 42,3 | 29,4 | 45,9 | 31,9 | 50,7 | 35,2 | 57,6 | 40,0 |
| 360 | 6 | 21,6 | 10,0 | 26,6 | 12,3 | 29,7 | 13,8 | 33,7 | 15,6 | 39,5 | 18,3 | 45,6 | 21,1 | 49,5 | 22,9 | 54,6 | 25,3 | 62,0 | 28,7 |
| 540 | 9 | 23,3 | 7,2 | 28,6 | 8,8 | 32,0 | 9,9 | 36,3 | 11,2 | 42,6 | 13,1 | 49,1 | 15,2 | 53,3 | 16,5 | 58,9 | 18,2 | 66,8 | 20,6 |
| 720 | 12 | 24,5 | 5,7 | 30,2 | 7,0 | 33,7 | 7,8 | 38,3 | 8,9 | 44,9 | 10,4 | 51,7 | 12,0 | 56,2 | 13,0 | 62,0 | 14,4 | 70,4 | 16,3 |
| 1080 | 18 | 26,4 | 4,1 | 32,5 | 5,0 | 36,2 | 5,6 | 41,2 | 6,4 | 48,3 | 7,5 | 55,6 | 8,6 | 60,4 | 9,3 | 66,7 | 10,3 | 75,8 | 11,7 |
| 1440 | 24 | 27,8 | 3,2 | 34,2 | 4,0 | 38,2 | 4,4 | 43,4 | 5,0 | 50,9 | 5,9 | 58,6 | 6,8 | 63,7 | 7,4 | 70,3 | 8,1 | 79,8 | 9,2 |
| 2880 | 48 | 31,5 | 1,8 | 38,8 | 2,2 | 43,3 | 2,5 | 49,2 | 2,8 | 57,6 | 3,3 | 66,4 | 3,8 | 72,1 | 4,2 | 79,7 | 4,6 | 90,4 | 5,2 |
| 4320 | 72 | 33,9 | 1,3 | 41,7 | 1,6 | 46,5 | 1,8 | 52,9 | 2,0 | 62,0 | 2,4 | 71,4 | 2,8 | 77,6 | 3,0 | 85,7 | 3,3 | 97,3 | 3,8 |
| 5760 | 96 | 35,7 | 1,0 | 43,9 | 1,3 | 49,0 | 1,4 | 55,7 | 1,6 | 65,3 | 1,9 | 75,2 | 2,2 | 81,7 | 2,4 | 90,2 | 2,6 | 102,4 | 3,0 |
| 7200 | 120 | 37,2 | 0,9 | 45,7 | 1,1 | 51,0 | 1,2 | 58,0 | 1,3 | 68,0 | 1,6 | 78,3 | 1,8 | 85,1 | 2,0 | 93,9 | 2,2 | 106,6 | 2,5 |
| 8640 | 144 | 38,4 | 0,7 | 47,2 | 0,9 | 52,7 | 1,0 | 59,9 | 1,2 | 70,2 | 1,4 | 80,9 | 1,6 | 87,9 | 1,7 | 97,1 | 1,9 | 110,2 | 2,1 |
| 10080 | 168 | 39,5 | 0,7 | 48,6 | 0,8 | 54,2 | 0,9 | 61,6 | 1,0 | 72,2 | 1,2 | 83,2 | 1,4 | 90,4 | 1,5 | 99,8 | 1,7 | 113,3 | 1,9 |

Starkniederschlagshöhen und -spenden gemäß KOSTRA-DWD-2020

Rasterfeld 163119

(Zeile 163, Spalte 119)

Örtliche Unsicherheiten in Abhängigkeit von Wiederkehrzeit T und Dauerstufe D

| Dauerstufe D | | Wiederkehrzeit T | | | | | | | | |
|--------------|-----|------------------|-----|-----|-----|------|------|------|------|-------|
| | | 1 a | 2 a | 3 a | 5 a | 10 a | 20 a | 30 a | 50 a | 100 a |
| min | Std | ± % | ± % | ± % | ± % | ± % | ± % | ± % | ± % | ± % |
| 5 | | 11 | 10 | 10 | 10 | 10 | 10 | 11 | 11 | 11 |
| 10 | | 10 | 11 | 12 | 13 | 13 | 14 | 15 | 15 | 16 |
| 15 | | 12 | 14 | 14 | 15 | 16 | 17 | 18 | 18 | 19 |
| 20 | | 14 | 15 | 16 | 17 | 18 | 19 | 19 | 20 | 20 |
| 30 | | 15 | 17 | 18 | 19 | 20 | 21 | 21 | 22 | 22 |
| 45 | | 16 | 18 | 19 | 20 | 21 | 22 | 22 | 23 | 23 |
| 60 | 1 | 17 | 18 | 19 | 20 | 21 | 22 | 23 | 23 | 24 |
| 90 | 1,5 | 17 | 19 | 20 | 20 | 22 | 22 | 23 | 23 | 24 |
| 120 | 2 | 16 | 18 | 19 | 20 | 21 | 22 | 23 | 23 | 24 |
| 180 | 3 | 16 | 18 | 19 | 20 | 21 | 22 | 22 | 23 | 23 |
| 240 | 4 | 15 | 17 | 18 | 19 | 20 | 21 | 22 | 22 | 23 |
| 360 | 6 | 15 | 17 | 18 | 19 | 20 | 21 | 21 | 21 | 22 |
| 540 | 9 | 14 | 16 | 17 | 18 | 19 | 20 | 20 | 21 | 21 |
| 720 | 12 | 14 | 15 | 16 | 17 | 18 | 19 | 19 | 20 | 20 |
| 1080 | 18 | 13 | 15 | 15 | 16 | 17 | 18 | 19 | 19 | 20 |
| 1440 | 24 | 13 | 14 | 15 | 16 | 17 | 18 | 18 | 18 | 19 |
| 2880 | 48 | 12 | 13 | 14 | 15 | 16 | 16 | 17 | 17 | 18 |
| 4320 | 72 | 12 | 13 | 13 | 14 | 15 | 16 | 16 | 17 | 17 |
| 5760 | 96 | 12 | 13 | 13 | 14 | 15 | 15 | 16 | 16 | 17 |
| 7200 | 120 | 12 | 13 | 13 | 14 | 14 | 15 | 15 | 16 | 16 |
| 8640 | 144 | 12 | 13 | 13 | 14 | 14 | 15 | 15 | 16 | 16 |
| 10080 | 168 | 12 | 13 | 13 | 14 | 14 | 15 | 15 | 15 | 16 |

Parameter für abweichende T und D

Lokationsparameter ξ (Xi)

15,73965665

Skalenparameter α (Alpha)

5,03182013

Formparameter κ (Kappa)

-0,1

1. Koutsoyiannis-Parameter θ (Theta)

0,02723307

2. Koutsoyiannis-Parameter η (Eta)

0,8203453

Parameter für dauerstufenübergreifende Extremwertschätzung nach KOUTSOYIANNIS et al. 1998.

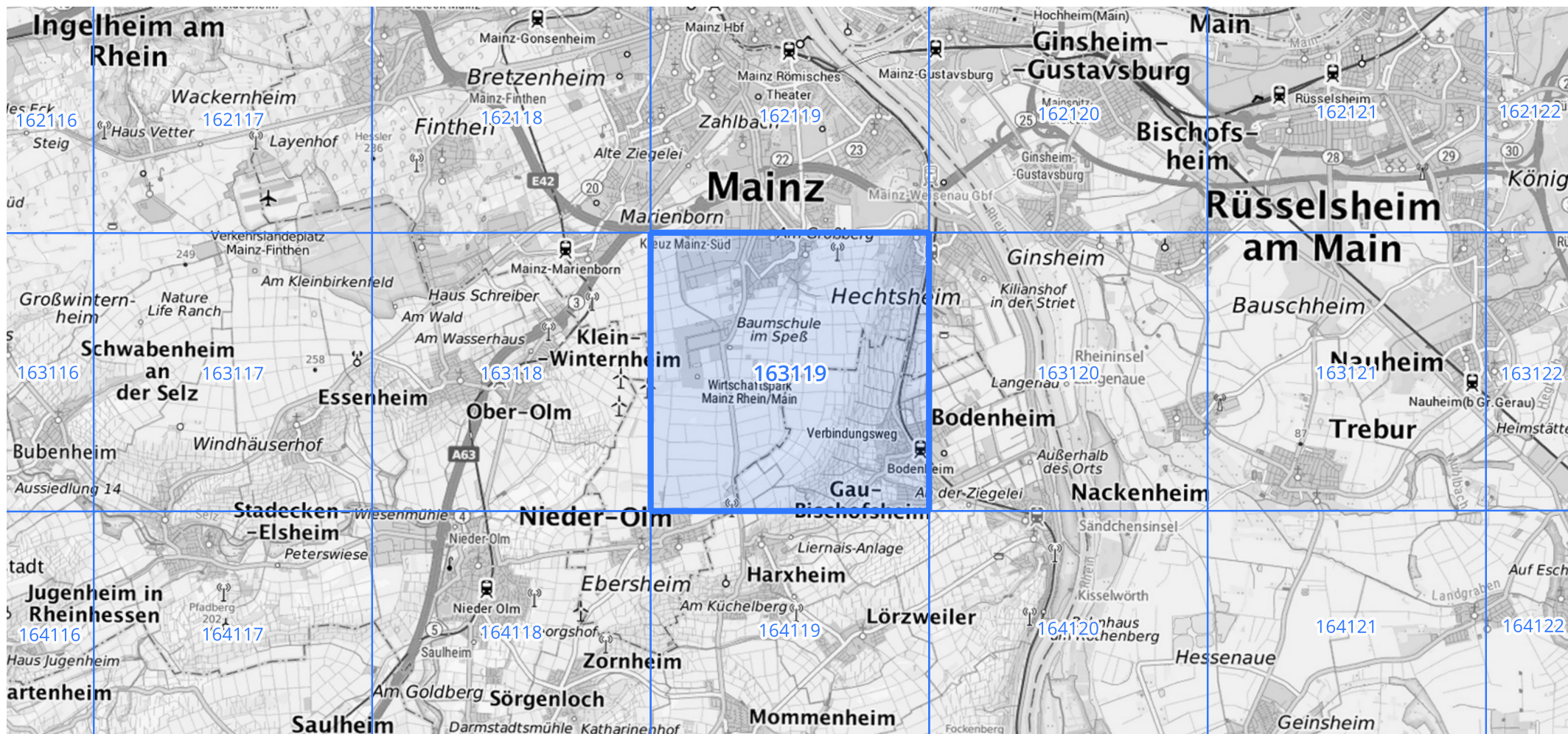
Siehe auch Anwendungshilfe zu KOSTRA-DWD-2020 des Deutschen Wetterdienstes.

Starkniederschlagshöhen und -spenden gemäß KOSTRA-DWD-2020

Rasterfeld 163119

(Zeile 163, Spalte 119)

Übersichtskarte des Rasterfeldes 163119, M 1 : 100 000



Quelle Rasterdaten: KOSTRA-DWD-2020 des Deutschen Wetterdienstes, Stand 12/2022.

Seite 3 von 3

Kartendarstellung: © Bundesamt für Kartographie und Geodäsie (2023), Datenquellen: https://sgx.geodatenzentrum.de/web_public/gdz/datenquellen/Datenquellen_TopPlusOpen.html

Für die Richtigkeit und Aktualität der Angaben wird keine Gewähr übernommen. Erstellt 01/2023.